

# نماذج الانحدار تنبئ بالمعلمات دراسة مقارنة

علاء جابر طراد\*\*

\*أ.م.د رعد فاضل حسن

## المستخلص:

احدى الغايات الرئيسية من دراسة اي مشكلة او ظاهرة (اقتصادية ، اجتماعية ، علمية.....) هو ايجاد المعادلة الرئيسية التي تمثلها والتي ستكون المدخل الرئيس لفهم هذه الظاهرة وتحديد معالمها الرئيسية ، وهو ما يعرف في علم الاحصاء بنمذجة العلاقة بين الظواهر ، وقد تم في الجانب النظري من هذا البحث توضيح مبسط لنقدرات بعض النماذج المعلمية مثل (انموذج الانحدار الخطى (البسيط ، العام ، الموسع) ، وانموذج الانحدار اللاخطى) ، وبعض مقدرات الانحدار الامعمى ، ومقدرات نماذج الانحدار شبه المعلمية مع التركيز اكثرا على الانموذجين (الانحدار الخطى الجزئي PLM والانحدار الخطى الجزئي الموسع) ، وفي الجانب العملى تم اجراء تطبيق عملى على بيانات شركة خطوط الانابيب النفطية باجراء ثلاث مراحل حيث تم في المرحلة الاولى بناء اربع نماذج معلمية وثمانية وعشرين انموذجا شبه معلميا ، وفي المرحلة الثانية تم اجراء المقارنة فيما بين هذه النماذج بثلاثة اساليب وعلى اساس ثلاثة معايير ( $AIC, BIC, R^2$ ) لكل اسلوب مقارنة ، وفي المرحلة الثالثة تم تحسين درجة تمثيل نماذج الانحدار الخطى الجزئي بتغيير قيمة عرض الحزمة .

## Abstract:

One of the major goals of studying any kind of problems or Phenomenon (Economics, Social , Scientific.. ) is to find there major function which represent it , it will be the main internet to understand it and specified the main parameter , in theoretical part of this research we represent simply for estimator of the parametric models like (linear regression(simple , general , generalized ) and nonlinear regression) and some of the nonparametric regression estimator and semiparametric regression model estimator with focus on (partial linear model and generalized partial linear model's estimators ) , in practical part we applied practically on (Oil Pipeline Company's data ) by made three steps to analyze these data where we've done in a first step is construct four parametric and twenty eight semiparametric models , in second step we made a compare between these models by three methods and using three Standards ( $AIC, BIC, R^2$ ) for each method ,in third step we increase the Coefficient of determination ( $R^2$ ) and adjusted  $R^2$  for the partial linear models by changing the value of the bandwidth.

## 1. المقدمة

احدى الغايات الرئيسية من دراسة اي مشكلة او ظاهرة (اقتصادية ، اجتماعية ، علمية.....) هو ايجاد الانموذج الرئيسي الذي يمثلها والذي سيكون المدخل الرئيسي لفهم هذه الظاهرة وتحديد معالمها الرئيسية ، وهو ما يعرف في علم الاحصاء بنمذجة الظواهر ، ان هذه العملية قد تطورت بتطور علم الاحصاء نفسه وان

\* الجامعة المستنصرية / كلية الادارة والاقتصاد .

\*\* باحث .

مقبول للنشر بتاريخ 2013/12/3

مستل من رسالة ماجستير

كانت لفترة طويلة تعتمد على نوع واحد هو الانحدار المعلمي  $PR$  بشقيه الخطي (*Linear*) واللاخطي (*nonlinear*) حيث تم تطوير كل ما يتعلق به من تقديرات وفرضيات واختبارات منذ أيام العالم فيشر وحتى الان علمًا بأن جميع الحالات التي تمت نمذجتها كان يتم افتراض توزيعها طبيعياً وان تكون حالات قابلة للقياس ، حتى جاء الباحثان *Nelder – Wderburn*<sup>(19)</sup> ليتم تحديد الحالة الموسعة من الانحدار العام وهي الانحدار الخطي الموسع  $GLM$  والتي فتحت الباب على مصراعيه لمذكرة كافة الظواهر والمشاكل غير القابلة للقياس او الوصفية ، ان الميزة الإيجابية التي يتمتع بها الأسلوب المعلمي هي بحد ذاتها ايضاً ميزة سلبية من حيث تحديد معالم دالة الانحدار والتي ستكون معادلة واحدة فقط لا يمكن تغييرها الا بعد (اضافة أو حذف) متغير منها او اضافة بيانات جديدة وبالتالي فان تحسين مقياس درجة تمثيل الانموذج لبيانات اي ظاهرة وهو معيار (معامل التحديد  $R^2$ ) قد يكون مستحيلا دون اتخاذ تلك الاجراءات ، وبالتالي فإن الباحثين يكونون مجردين على قبول هذه المعادلة عندما لا يكون هناك امكانية لتوفير الحلول المناسبة والتي ذكرناها ، وفي مرحلة ثانية من نمذجة الظواهر ظهر الى العلن فكر احصائي جديد والذي لا يعتمد على القيود الصارمة المفروضة في الانحدار المعلمي والذي تمثل بتمهيد البيانات باستخدام الاوزان الثابتة ومن ثم تطور باستخدام واحدة من أشهر الدوال الوزنية وهي الدالة اللبية (*kernel function*) والتي باستخدامها تم تمهيد البيانات على اساس الاوزان غير الثابتة والتي تحدد وزناً مختلفاً على اعتبار القرب والبعد بين قيم المتغير المستقل عن نقطة محددة سلفاً ، وباستخدام الدالة الاخيرة تشكلت مجموعة من المقدرات الاحصائية الالعملمية مكونة ما يعرف باسم مقدرات الانحدار الالعملمي *NPR* من قبيل المقدرات (نادرياً - واتسون ، بربستل جاو ، المقدر اللبي ، الشرائح المقطعية ، محمد الانحدار الخطي الموضوعي.....) ، ان التطور الهائل في مجال الحاسوبات الالكترونية جعل الباحثين يطبقون طرقاً جديدة للوصول الى الانموذج الأفضل المعبّر عن الظاهرة المدروسة ايا كانت منطقين من مبدأ ان المعادلة المستخرجة تحاول تحقيق تقارب بين قيم منحنى  $\gamma$  التقديرية و منحنى  $\gamma$  الحقيقة فيما يلي *Curve Fitting of data without model* وباستخدام الدوال اللبية وتمهيد البيانات (*Smoothing Data*) وتحديد قيم المسافات البنية امكن تقريباً من الحصول على مالاهمية من المنحنيات التي تقترب او تقاد من منحنى بيانات المتغير المعتمد ، وهو ما اగرى الباحثين على اللجوء الى هذا الاسلوب لدراسة الظواهر المختلفة ، وعلى الرغم من ذلك فإن السلبيات التي تصاحب عملية التمهيد ليست بالهينة فان طرق التمهيد المختلفة تصبح طرقاً صعبة جداً في حالة المتغيرات الكثيرة لوجود مشكلة البعيدة (*curs of dimension*) من ناحية ومن ناحية اخرى فان فقدان ميزة الحصول على دالة معبرة عن الظاهرة ولو بالحدود الضيقة تعتبر من سلبيات هذه الطريقة ، وفي المرحلة الثالثة عند منتصف الثمانينيات بدأ يتشكل الجيل الثالث من نمذجة الظواهر وهو الانحدار شبه المعلمي *SPR* حيث انه يمثل من الناحية العملية الحالة الوسطية بين انموذج الانحدار المعلمي *PR* والانحدار الالعملمي ، وتأتي الميزة الكبيرة لهذا الانموذج في كونه يحوي على كل مميزات الايجابية التي يتضمنها الانموذجين السابقين ولوضوح التفاعل بين مكوناته المعلمية والالعملمية والتي لاقت قبولاً واسعاً في الدراسات الاقتصادية والاجتماعية والعلمية الحديثة وذلك بسبب حل مشكلة السلوك الغير مفهوم لبعض المتغيرات الداخلية في الدراسة من جهة و للمرونة العالية التي يتمتع بها هذا النوع من الانحدار من جهة اخرى ، وقد تم اقتراحه من منطلق فكرة النماذج التجميعية حيث تم الدمج بين المكونين الالعملمي والمعلمي بانموذج شبه المعلمي الذي احتوى على القيود الصارمة في جزئه المعلمي و مرونته الكاملة في جزئه الالعملمي وتطرق البحث الى ثلاثة مفاصيل رئيسية حيث احتوى الاول التطرق الى النماذج المعلمية والالعملمية وشبه المعلمية مع التطرق الى اساليب تدبيرها والثاني هو اجراء تطبيق عملي على بيانات شركة خطوط الانابيب النفطية والثالث هو تحديد اهم الاستنتاجات والتوصيات .

## 2- الانحدار المعلمي

من اهم مجالات دراسة العلوم هو ايجاد وصف للعلاقة التي تجمع ما بين مجموعة من المتغيرات المختلفة التي تمثل ظاهرة من ظواهر الحياة المتعددة وهذا الوصف يتمثل بانموذج معين يربط بين متغير عشوائي معتمد ومتغيرات عشوائية مستقلة ترتبط باوزان *Weights* او معالم *Parameters* وهذا النوع من النماذج يسمى بـ*انموذج الانحدار المعلمي Parametric Regression Model* ، يمكن التعريف بنوعين من نماذج الانحدار المعلمي :-

### (2-1) الانحدار المعلمي الخطي

وهو من الاساليب الاحصائية التي تستخدم في قياس العلاقة بين متغيرين او عدة متغيرات حيث سيكون أحدها هو المتغير المعتمد  $\gamma$  والمتغير الآخر او المتغيرات الاخر ستكون المتغيرات المستقلة ، وبصورة عامة يوصف الانموذج بالصيغة :-

أذ أن  $Y$ ,  $X$  تمثل متغيرات عشوائية و  $f(X_i, \beta)$  دالة خطية للمتغيرات المستقلة  $X_i$  ولمعامل غير معروفة  $(\beta)$  ، ويدعى الأنماذج (1) بأنموذج الانحدار الخطى العام **GLM** والذى عند كتابته بدلالة المصفوفات سيكون :-

والذى يسمى بالانحدار الخطى العام  $GLM$  ، وبافتراض أن  $0 = \sigma^2 \cdot I \cdot e = Var(e)$  يكون  $Y$  يمثل متوجه المتغير المعتمد ، ان تقدير معلم  $GLM$  (أنموذج الانحدار العام) يكمن باسلوب الامكان الاعظم او باسلوب المربعات الصغرى والتي كلاهما تتوصل الى صيغة واحدة لتقدير المعلم

$$\hat{\beta} = (X^T X)^{-1} X^T Y$$

$$\hat{\sigma}^2 = \frac{1}{n-p} (Y^T Y - \hat{\beta}^T X^T Y)$$

أن الحال الموسعة من النماذج الخطية والتي تمكن من نمذجة البيانات والتي لا تحقق شرط التوزيع الطبيعي والبيانات غير الكمية تسمى بالانحدار الخطى الموسع  $GLM_Z$  ، وقد اورد <sup>(9)</sup> Lindsey عدة امثلة مشتركة تكونها حالات تكون نمذجتها باسلوب  $GLM_Z$ ، وان الاساس في هذه الامثلة هو اشتراكتها في عائلة التوزيعات الاسية **Exponential Distribution Family** أو عائلة التشتت الاسية **Exponential Dispersion Family** ، ومن مميزات الانماذج الخطى الموسع ( $GLM_Z$ ) انه يحرر البيانات من شرط الخطية في علاقة  $Y$  مع  $X_i$  وذلك يحرر الباحثين من قيود التحليل المفروضة على دالة الانحدار وبهذا يمكن نمذجة العديد من التوزيعات {التوزيع الطبيعي ، توزيع ثانى الحدين ، توزيع بواسون ، معكوس الطبيعي ، معكوس ثانى الحدين ، توزيع كاما.....} ، ان الصيغة العامة لدوال العائلة الاسية تكون : -

$$f(\mathbf{y}_i, \boldsymbol{\theta}_i) = \exp\{a(\mathbf{y})\mathbf{b}(\boldsymbol{\theta}) - c(\boldsymbol{\theta}) + d(\mathbf{y})\} \dots \quad (4)$$

وعندما  $y = a$  يمكن كتابتها بالصيغة

$$f(y_i, \theta_i) = \exp\{yb(\theta) - c(\theta) + d(y)\} \quad \dots \dots \dots \quad (5)$$

و عندها سيطبق على هذه الصيغة بالصيغة القانونية (Canonical Form) والدالة  $b(\theta)$  تعرف بالمعلمة الطبيعية (Natural Parameter) ، والحالة العامة من الصيغة القانونية تكون بإضافة الدالة  $\{\varphi(r)\}$  ، والتي تكون بدلالة معلمة التشتت إلى الصيغة اعلاه لتكون الصيغة كالتالي:-

$$f(y, \theta, \varphi) = \exp[(y\theta - b(\theta))/r(\varphi)) + d(y, \varphi)] \dots\dots(6)$$

يمكن ان نجد ان الوسط الحسابي والتبالين توصف بالصيغ :-

$$E(Y) = \mu = b'(\theta)$$

$$Var(Y) = \sigma_y^2 = b''(\theta) r(\varphi)$$

ان الصيغة العامة لأنموذج الانحدار الخطي الموسع ( $GLM_z$ ) تكون

ويكون هذا الأنماذج من ثلاثة أقسام رئيسة :-

- المركبة العشوائية (*Random component*) والذى يتمثل بالمتغير العشوائى  $y$  الذى يتوزع بتوزيع ينتمى الى عائلة التوزيعات الاسية.
  - المركبة النظامية (*Systematic component*) والذى يتمثل بصيغة الوسط الحسابى الذى يكون على شكل تركيبة خطية تعرف بالتبؤ الخطى  $\text{linear predictor}$  بدلالة المتغيرات التوضيحية  $G(\cdot)$  *The Link Function* وهي الدالة التى تربط بين القسمين الاول والثانى وهى دالة رتيبة (تصاعدية أو تناظرية) خطية او لاختطية وصيغتها تكون :-  $\eta_i = G(\mu) = G(X^T \beta)$

ووهناك عدة انواع من دوال الربط لها علاقة باستجابة المتغير وتوزيعه والجدول (1-2) يوضح بعض توزيعات العائلة الاسية والمعلم الطبيعية ودوال الربط الخاصة بها :-

واجل تقدير معلم ألموزج الانحدار الخطي الموسع ( $GLM_Z$ ) فقد حدد كل من الباحثين <sup>(19)</sup> Nelder – Wedrburn بأن غالبية الحالات التي يمكن في نمذجتها بطريقة  $GLM_Z$  ستتبع نفس الاسلوب في تقدير معالمها بطريقة الامكان الاعظم ، أن تقدير معلم الالموزج ستعتمد على التوسيع الخطي

الجدول رقم (1) توزيعات العائلة الاسية - دالة الربط - النوع		
النوع	دالة الربط	التوزيع
Identity	$\eta_i = G(\mu) = \mu$	ال الطبيعي
Log	$\eta_i = G(\mu) = \text{Log}(\mu)$	بواسون
Logit	$\eta_i = G(\mu) = \log \frac{1}{1 - \mu}$	ثانوي الحدين

نقطة الربط  $G(X^T \beta) = \eta$  حيث ستكون محل الاهتمام بدلاً عن  $\beta$  ، وان الصيغة *Nelder - McCullagh<sup>(11)</sup>* ضمن اسلوب المربيعات الصغرى الموزونة التكرارية *MWS* التي حددها ستكون:-

## -(2-2) الانحدار المعلمى اللاخطى:-

في الحياة العملية لا يمكن الحصول على علاقة خطية بين المتغيرات وفي احيان كثيرة تكون العلاقة الحقيقية بينها لخطية ولغرض تحديد هذه العلاقة يتم اللجوء الى اسلوب الانحدار лахطي وقد حدد كل من Draper , Smith<sup>(3)</sup> بأن اي صيغة تختلف شكل دالة الانحدار:  $f(X_i, \beta) + e$  ولا يمكن الحصول عليها باي تحويل لوغاريتمي او غيره ستكون انموج الانحدار лахطي ، وعلى هذا يمكن افتراض ان الانموج يأخذ الصيغة التالية:

**أذْ أَنْ :-**

يمثل معلم الانموزج  $\theta$   
 $\theta = [\theta_1 \ \theta_2 \ \dots \ \dots \ \theta_p]^T$   
 فان دالة تايلور ستكون بالوصف:

$$f^0 = f(x_i, \theta_0), \underline{\beta_i^0} = \underline{\theta_i} - \underline{\theta_i^0}$$

$$Y \equiv f^0 + \sum_{i=1}^p \beta_{i0} Z_{i0} + e_i \quad \dots \dots \dots \quad (12)$$

ویتوییض

وهي تمثل دالة انحدار خطية ، وعند تحويل المقدار  $m$  الى يمين المعادلة (12) يكون :

$$\underline{Y} - \underline{f^0} = \sum_{i=1}^p \beta_{i0} Z_{i0} + \underline{e_i}$$

لتكون صيغة المعالم الأولية بالوصف :-

$$\hat{\beta}^0 = (Z^{0T} Z^0)^{-1} Z^{0T} (\underline{Y} - \underline{f}^0) \dots \dots \dots (13)$$

ان الصيغة التكرارية للحصول على قيم المعالم

أذ أن  $m$  تشير إلى مرحلة التقدير .

-3- الانحدار الامثل

وهو اسلوب احصائي مغایر لمفهوم الانحدار المعلمي وينتفق معه بالهدف النهائي وهو الحصول على افضل تقدير لمنحنى بيانات تتطابق او تقترب من التطابق مع منحنى المتغير المعتمد (Y)، فلو كانت لدينا ظاهرة من الظواهر المختلفة ولا توجد هناك اي فرضيات تحكم العلاقة بين متغير الاستجابة (Y) والمتغير

التوسيحي ( $Z_i$ ) ولا يمكن تحديد اي علاقة سواء كانت علاقة خطية او علاقة لا خطية بينهما عندها ستكون العلاقة المقترحة بين ( $Y, Z$ ) تسمى بالانحدار اللامعملي (*Nonparametric Regression*) انموذج الانحدار اللامعملي البسيط ويدعى من اكثر النماذج اللامعمليات شيوعا وصيغته

m(.) تمثل دالة التمهيد الامعملي الواجب تقديرها بالطرق الامعممية وتعتمد اساليب تقديره في مجملها على التمهيد الامعملي *Nonparametric Smoothing* ، وهو توفيق المنحنيات من دون الحاجة الى انموذج لوصف نمط متغير الاستجابة ( $Y$ ) ، وبعد المدخل الرئيس للاتحدار الامعملي الذي يهدف بالاساس الى ايجاد افضل منحنى ممهد يطابق او يقترب من التطبيق مع منحنى متغير الاستجابة ( $Y$ ) وهناك عدة اساليب لتوفيق المنحنيات ومنها الدالة الليبية (*Kernel Function*) في صيغها الرياضية المختلفة ، وهي من أشهر الدوال الوزنية التي تستخدم في تمهيد بيانات المتغير المعتمد ( $Y$ ) والتي تملك الخواص الاستمرارية التماثل ، الكثافة احتمالية ، تملك تباين معلوم ومتوسط = صفر ، ولدالة الليبية عدة صيغ مختلفة منها ما موضح في الجدول ادناء:-

الجدول رقم (2) بعض انواع الدوال اللبيّة لمتغير واحد			
نوع الدالة	صيغة الدالة	الدالة اللبيّة	رقم
$K(u) = \frac{1}{2}$	$ u  < 1$	<i>Uniform Kernel</i>	1
$K(u) = 1 -  u $	$\sin(u) < 1$	<i>Triangular Kernel</i>	2
$K(u) = (2\pi)^{-\frac{1}{2}} e^{-\frac{u^2}{2}}$	$0 < u < \infty$	<i>Gaussian Kernel</i>	3
$K(u) = \frac{3}{4} (1 - u^2)$	$ u  < 1$	<i>Epanchnikov kernel</i>	4

أذ أن الصيغة 4 تقع ضمن عائلة واحدة من الدول باسم *Epanchnikov* والتي تملك صيغة موحدة هي :

$$K(u) = C_a(1 - u^2)^a$$

$$C_a = \Gamma(2a+2) [\Gamma(a+1)]^2 2^{-2a-1}$$

**تمثل درجة الدالة المطلوبة** ( $a = (1, 2, 3, \dots)$ )

$$u^{\frac{Z_i - Z_0}{h}}$$

**أذ أن :-**

$Z_i$  يمثل قياسات المتغير التوضيحي  
 $Z_0$  يمثل مشاهدة من مشاهدات المتغير التوضيحي  
 $h$  يمثل عرض الحزمة (*The bandwidth*) ويشار إليها في مصادر عديدة باسم معلمة التمهيد (*Smoothing Parameter*) ، وهي الجزء الام في الدوال اللبية ، حيث اوضح <sup>(6)</sup> *Hardle* أن اختيار  $h$  هو الجزء الام في عملية التمهيد ، ويسبق اختيار اي دالة من الدوال اللبية وبين ايضا بأن  $h$  تمثل المعلمة الحرة التي تملك تأثيرا قويا على نتائج الدوال اللبية وبالتالي فإن أي مقدر من مقدرات الانحدار الالاعمي التي تعتمد على الدالة اللبية فضلا عن الدالة نفسها سيكون حساسا جدا للتغيرات في قيمة  $h$  ، والذي سيؤدي بدوره الى تغيير شكل المنحنى الممهد للمتغير المعتمد (Y) ، والتي يتم احتسابها بالصيغة التي حددها <sup>(13)</sup> *Scott* للمتغير الواحد ولعدة متغيرات

$$\left. \begin{array}{l} h = 1.06 \hat{\sigma} n^{-0.2} \\ h = 1.06 R n^{-0.2} \end{array} \right\} \dots \dots \dots \quad (16)$$

وَأَنْ  $R$  تُمْثِلُ الْفَرْقَ بَيْنَ الرَّبِيعِ الثَّالِثِ وَالرَّبِيعِ الْأَوَّلِ  
وَ $\hat{\sigma}$  تُمْثِلُ الْأَنْجَافَ الْمُعَيَّارِيَ لِمُشَاهَدَاتِ الْعِينَةِ

وقد بين (Emmanuel<sup>17</sup>) بضرورة مراعاة حقيقتين رئيسيتين في اختبار معلمة التمهيد الأولى عند اختيار معلمة التمهيد ( $h$ ) كبيرة سيؤدي إلى تمهيد كبير للبيانات مع تحيز كبير وتبابين قليل والثانية عند اختيار معلمة التمهيد ( $h$ ) صغيرة سيؤدي إلى تمهيد صغير للبيانات وتحيز قليل وتبابين كبير.

(١-٣) اساليب تقدير الانحدار الامثلى الاساسى في تقدير الانمودج الامثلى والذى صيغته  $m = m(Z_i) + e$  هو تمهد مشاهدات المتغير المعتمد ( $Y$ ) عن طريق تحديد الاوزان لهذه المشاهدات حيث س يتم تخصيص الوزن الاكبر للمشاهدات الاقرب (الاكثر تاثيرا) والوزن الاقل او الصفر للمشاهدات البعيدة (الاقل تاثيرا)، ان المفهوم الرياضي للاوزان يمكن توضيحه عن طريق

$$E(Y/Z) = \int y f(y/z) dy = \int \left[ \frac{f(y,z)}{\hat{f}(z)} \right] y dy$$

أذ أن الجزء  $\int \frac{f(y,z)}{\hat{f}(z)}$  يمثل كدالة وزنية لمشاهدات المتغير المعتمد ( $y$ ) وهناك اساليب متعددة لتحديد المقدر الامامي ( $Z_i$ )  $m$  سنوضح منها ما ياتي :-

**(3-1) المدرج التكراري**  
وهو من اكثـر المقدرات الـلامعـمية شهرـة والـذـي حـدد مـلامـحـه الكـثير من الـبـاحـثـين ، وـالـصـيـغـةـ الـرـياـضـيـةـ الـخـاصـةـ بـالـمـدـرـجـ التـكـرـارـيـ هيـ:

$$\hat{f}(\mathbf{z}) = \frac{1}{nh} \sum_{i=1}^n \sum_{j=1}^n I(z_i \in B_j) I(z \in B_j) \dots \dots \dots \dots \quad (17)$$

ويبين<sup>(6)</sup> Hardle انه في حالة تطوير هذا المقدر ف سيتم التعويض كالاتي :

$$B_j = [m_j - \frac{h}{2}, m_j + \frac{h}{2}] \quad \text{ستكون} \quad \text{فان الفترة } B_j$$

$$u_i = \frac{z_i - z_0}{h} \quad \text{أذ أن : -}$$

$W_i(u)$  يمثل مؤشرًا وزنياً يعتمد على العلاقة الآتية :-

وأورد Hansen<sup>(8)</sup> صيغة اخرى للمقدار هي:

وأورد Hansen<sup>(8)</sup> صيغة أخرى للمقدار هي:

$$\hat{m}(z) = \frac{\sum_{i=1}^n \mathbf{1}(|Z_i - Z_0| \leq h) Y_i}{\sum_{i=1}^n \mathbf{1}(|Z_i - Z_0| \leq h)} \quad \dots \quad (20)$$

وهو يمثل الوسط الحسابي الموزون لقيم متغير الاستجابة ( $\bar{Y}$ ) المراد تمهيدها ، وبالتالي فإن الصيغة النهائية للمقدار بدلالة المؤشرات الوزنية ستكون :

### (3-1-3) مقدار برستئي جاو ويكون بالصيغة

$$\hat{\mathbf{m}}(\mathbf{z}) = \frac{1}{h} \sum_{i=1}^n (\mathbf{Z}_i - \mathbf{Z}_{i-1}) K\left(\frac{\mathbf{z}_i - \mathbf{z}}{h}\right) Y \quad \dots \dots \dots \quad (22)$$

و عندما تكون المشتقات المستمرة لدالة الجزء اللامعجمي ( $m$ ) تنتهي للفترة  $[0,1]$  فان صيغة المقدار ستكون

$$\hat{m}(z) = \frac{1}{nh} \sum_{i=1}^n K\left(\frac{z_i - z}{h}\right) Y_i \quad \dots \quad (23)$$

وهي صيغة المقدر الليبي (*Kernel Estimator*) والذي يعد من اهم المقدرات الشائعة الاستخدام من المقدرات الليبية ، وفي حالة متعدد المتغيرات فان صيغة المقدر الليبي ستكون بالوصف :-

### مقدار ناداریا - واتسون (4-1-3)

تم اقتراح هذا المقدار من قبل الباحثين Nadareya - Watson وذلك بتبادل المؤشر الوزني في صيغة المقرر السادس (19) بالدالة اللبية ليصبح وصف المقدار بالصيغة الآتية :-

$$\hat{m}_h(z) = \frac{\sum k \left( \frac{z_t - z}{h} \right) y}{\sum k \left( \frac{z_i - z}{h} \right)} \quad \dots \dots \dots \quad (25)$$

وبالتالي تم الحصول على مقدار أكثر كفاءة من المقدر الساذج مع بقاء حساسيته العالية لمعلمة التمهيد  $h$ ، ووارد كل من (15) *Demir, Toktamis* صيغة محدثة للمقدر بالاعتماد على الترتيب نفسه في الصيغة المحدثة للمقدر اللي (25) فان الصيغة ستكون بالوصف الآتي :-

$$\hat{m}_h(z_i) = \frac{\sum_{i=1}^n \frac{1}{h\lambda_i} K\left(\frac{z_i - z}{h\lambda_i}\right) Y_i}{\sum_{i=1}^n \frac{1}{h\lambda_i} K\left(\frac{z_i - z}{h\lambda_i}\right)} \dots \quad (26)$$

مع الاشارة الى صيغة ناداريا - واتسون (مع ترك مشاهدة واحدة)  
 $leave one out N Estimator$ )  
والتي سنكون بالوصف الاتي:

$$\hat{m}_{-1}(Z_i) = \frac{\sum_{i \neq j} K\left(\frac{Z_i - Z_j}{h}\right) Y_j}{\sum_{i \neq j} K\left(\frac{Z_i - Z_j}{h}\right)} \quad \dots \quad (27)$$

### 5-1-3) مقدار الانحدار الموضعي لكثيرات الحدود

عند افتراض أن مشتقات دالة الانحدار موجودة ومستمرة وبدرجة  $(P+1)$  في أي نقطة من نقاط  $(Z_i)$  إذ أن:-

$$\underline{\beta}(Z) = [\beta_0(Z), \beta_1(Z), \dots, \beta_p(Z)]^T$$

$$\bar{\beta}_j(Z) = \frac{m^j(Z)}{j!} \quad \text{أذ أن: -}$$

و عند تصغير الدالة والتي هي :

$$\psi(\underline{\beta}_{(z)}) = \sum_{i=1}^n [Y_i - \sum_{j=0}^p \beta_{j(z)}(Z_i - Z)]^2 w_{n,i} \dots \dots \dots (28)$$

$$w_{n,i} = \frac{1}{n} K\left(\frac{z_i - z}{h}\right)$$

ان تقدير  $\beta_z$  يكون بأسلوب المربعات الصغرى الموزونة اذ ان :-

عندما يكون المقدار الذي لمجموعة المتغيرات يمثل

وقيم المتغير المعتمد الموزونة يكون كالتالي :

$$T_{h,j} = \sum_{i=1}^n K_h(\mathbf{Z}_i - \mathbf{Z}) (\mathbf{Z} - \mathbf{Z}_i)^j Y_i \quad \dots \dots \dots \quad (31)$$

## أذ أن الدالة الوزنية ستكون

$$S_{h,j} = \sum_{i=1}^n K_h(\mathbf{Z}_i - \mathbf{Z}) (\mathbf{Z} - \mathbf{Z}_i)^j \quad \dots \dots \dots \quad (32)$$

-: فان  $P = 0$  وعندما

وهو يمثّل بالضبط مقدار نادراً ما - واتساعه ، وعندما  $P = 1$  ستكون بالوصف الآتي :

$$\hat{\beta}_{(Z)} = \begin{bmatrix} S_{h,0} & S_{h,1} \\ S_{1,0} & S_{1,1} \end{bmatrix}^{-1} \begin{bmatrix} T_{h,0} \\ T_{1,0} \end{bmatrix} \quad \dots \dots \dots \quad (33)$$

-4- الانحدار شبه المعلمات Seminparametric Regression Model<sup>(4)(5)(6)(10)</sup>

**٤- انحدار سبـ. المعلمي Semiparametric Regression Model** وهو اسلوب احصائي يحقق الخصائص العامة لانحدار المعلمـي واللامعلمـي ويتفق معهما في الغاية نفسها وهي الحصول على افضل منحنى للبيانات يطابق او يقترب من التطابق مع منحنى المتغير المعتمـد ( $Y$ ) بالدمج بين اساليب التقدير المعلمـية واللامعلمـية و حدد<sup>(6)</sup> Hardle تعريف الانحدار شبه المعلمـي بأنه

أنموذج يحتوي على قسمين احدهما معلمى بابعاد نهائية والآخر لامعلمى بابعاد لا نهائية ، ان الصيغة العامة للأنموذج شبہ المعلمى هي :-

وتختلف طرق تقدير معلم أنموذج الانحدار شب المعلمى باختلاف صيغه الرياضية ولكنها بصورة عامة تكون بأسلوبين رئيسين الاول وهو الاكثر استخداما من قبل الباحثين ويعنى بتقدير الجزء المعلمى في المرحلة الاولى (بأي اسلوب من اساليب التقدير المعلمى) وبعدها في المرحلة الثانية يتم تقدير الجزء الامعلمى (باساليب التمهيد الالامعلمى) بالاعتماد على تقديرات المرحلة الاولى والثانى وهو معانكس للاسلوب الاول حيث يتم تقدير الجزء الامعلمى في المرحلة الاولى ، وفي الثانية يتم تقدير الجزء المعلمى بالاعتماد على تقديرات المرحلة الاولى .

ان اختيار **الاسلوب الاول** (**علمي لامعجمي**) يوافر للباحثين من الناحية المبنية امكانية تقدير عدد كبير من المنحنيات المتوفقة مع منحني متغير الاستجابة ( $Y$ ) واختيار **الاسلوب الثاني** (**لامعجمي علمي**) فانه سيوفر عدد كبير من النماذج الموقفة وبالتالي عدداً كبيراً من المنحنيات التقديرية لهذه النماذج.

**1-4) نموذج الانحدار الخطي الجزئي (PLM)**<sup>(9)(10)</sup> ويعد من أشهر النماذج شبه المعلمية ويرد عند الكثير من الباحثين باسم الانموذج شبه المعلمي البسيط **Simple Semiparametric Model** قبل اقتراحه من الباحثين Engle , Granger, Rice and Weiss<sup>(28)</sup> وصيغته الرياضية :-

$$\underline{Y} = X^T \beta + m(\mathbf{z}) + \underline{e} \quad \dots \dots \dots \quad (35)$$

$$E(Y) = X^T \beta + m(z)$$

ان الأنماذج *PLM* يعد الأنماذج الكلاسيكي المعبر عن مفهوم الانحدار شبه المعلمى وذلك لوضوح حالة التفاعل بين المكون المعلمى والمكون اللامعلمى ولهذا السبب فانه كان محظى بأهتمام لكثير من الباحثين والذي انعكس على الاساليب المتعددة لتقدير معالمه .

**٤-١-٤) طريقة التقدير بالبواقي Residuals Estimation Method<sup>(٦)</sup><sup>(٧)</sup>** عند اخذ التوقع لانموذج الانحدار الخطى الجزئي

$$E(\underline{Y}/Z) = E(X^T \beta/Z) + E(m(Z)/Z) + E(\underline{e}/Z)$$

وبطريق المعادلة الأخيرة من معادلة الانموذج  $PLM$  يكون :

$$\underline{Y} - E(\underline{Y}/Z) = (X^T - E(X^T/Z)\beta + (m(Z) - E(m(Z)/Z) + (\underline{e} - E(\underline{e}/Z))$$

فإن الأنموذج سيكون بالوصف الآتي :

وَيَتَعَوَّضُ

$$R \equiv X^T = E(X^T/Z)$$

**فإن المعادلة (36) ستكون بالوصف :**

$$D = R\beta + e \quad \dots \dots \dots \quad (37)$$

والأنموذج الأخير يمثل معادلة انحدار خطية تقليدية يمكن تقدير معالمها بالأساليب المعلمية أذ أن :-

$$\hat{\beta} = (R^T R)^{-1} R^T D$$

ويمكن كتابة الأنموذج (37) بصيغة الفروق الآتية :

وستكون صيغة التقدير لمعالم الدالة المعلمية بالوصف الآتي :

**(2-1-4) طريقة التقدير بالفرقات Differences Estimation Method<sup>14</sup>**  
 حدد  $Yatchow^{(14)}$  اسلوباً اخر لتقدير انموذج  $PLM$  حيث يتم ترتيب المتغيرين  $Y, X$  على اساس ترتيب المتغير  $Z$  اذ أن :-

$$Z_1 \leq Z_2 \leq Z_3 \leq \dots \leq Z_i$$

*i = 1, 2, 3 ..... n*

$$Y_i - Y_{i-1} = (X^T i - X^T i-1) \beta + (m(Z_i) - m(Z_{i-1})) + (e_i - e_{i-1})$$

يتم اخذ الفرق الاول

$$m(\mathbf{z}_i) -$$

من الناحية التقاريبية فإن

$$m(\mathbf{z}_{i-1}) = \mathbf{0}$$

$$Y_i - Y_{i-1} = (X^T_i - X^T_{i-1})\beta + \Delta_Y \quad \text{فيكون } (\epsilon_i - \epsilon_{i-1}) \text{ وبتعويض الاتي : } \Delta_Y = Y_i - Y_{i-1}$$

$$\Delta_e = e_i - e_{i-1}, \quad \Delta_{X^T} = X^T_i - X^T_{i-1}, \quad \text{فإن الأنماذج سيكون بالوصف الاتي :}$$

$$\Delta_Y = \Delta_{X^T}\beta + \Delta_e \quad \text{وهو يمثل دالة انحدار خطية تقليدية وبالتالي فإن تقدير معالم الجزء المعلمي سيكون بالوصف :-}$$

$$\hat{\beta}_{diff} = [\Delta_{X^T}\Delta_{X^T}]^{-1}\Delta_{X^T}\Delta_Y \quad \dots \quad (40)$$

**(3-1-4) طريقة Speckman للتقدير بأسلوب تطوير الجزء اللامعملي**  
 طور <sup>(21)</sup> Speckman طريقة التقدير بأقتراحه وصفا ملطفا للجزء اللامعملي ( $m$ ) والتعويض عنه بالصفوفة  $\mathcal{W}$  ، إذ أن  $\mathcal{W}$  تمثل مصفوفة من درجة  $n \times q$  ومن الرتبة التامة والدرجة  $q$  تكون غير معلومة ليكون الأنماذج PLM بالمصفوفات الاتية :

$$Y = X^T\beta + \mathcal{W}_\gamma + e \quad \dots \quad (41)$$

ان المعادلات الطبيعية التي وصفها <sup>(21)</sup> Speckman تكون :

$$X^T X \beta = X^T(Y - \mathcal{W}_\gamma)$$

$$\mathcal{W}_\gamma = P_w(Y - X^T\beta), \quad P_w = W(W^T W)^{-1} W^T$$

والتي تمثل مصفوفة الاسقطات (Projection Matrix) ، واستند <sup>(21)</sup> Speckman الى اسلوب Green, Jension, Seheult (Locall Linear Regression) والتي تم تعريفها في اسلوب التقدير اللامعملي (Local Linear Regression) بالصيغة (2-45) حيث سيكون المقدر المعلمي واللامعملي بالوصف الاتي :

$$\hat{\beta}_{GJS} = (X^T(I - S)X)^{-1} X^T(I - S)Y \quad \dots \quad (42)$$

$$\hat{m}_{GJS} = S(Y - X^T\hat{\beta}) \quad \dots \quad (43)$$

**(2-4) أنماذج الانحدار الخطي الجزئي الموسع (Generalized Partial linear Model (GPLM))**  
 يعد الأنماذج GPLM هو الامتداد لمفهوم الانحدار الخطي الموسع GLM<sub>z</sub> ومن علاقته بالأنماذج الشبه معلمي وان اساليب تقاديره تعتمد بالدرجة الاساس على تقادير GLM<sub>z</sub>.  
 ان الصيغة الرياضية للأنماذج

$$E(Y/X, Z) = G\{X^T\beta + m(Z)\} \quad \dots \quad (44)$$

ان مبدأ تقادير هذا الأنماذج يعتمد على أساسين :  
 تقادير  $\hat{\beta}$  مع اعتبار  $m$  معلومة تقادير و  $m$  على اساس أن  $\beta$  معلومة ، ولقد بينت Muller <sup>(14)</sup> بأنه عند التقادير سيتم افتراض أن أول عزميin شرطين للمتغير المعتمد  $Y$  موجودين إذ أن :-

$$E(Y/X, Z) = \mu = G(\eta) = G(X^T\beta + m(Z))$$

$$Var(Y/X, Z) = \sigma^2 Var(\mu)$$

#### طريقة Backfitting (1-2-4)

وهي الطريقة التي تم اقتراحتها من قبل <sup>(11)</sup> Hastie & Tibshirani كخوارزمية متسلسلة لتقدير الأنماذج التجمعي والفكرة الاساس تكون بتقدير المكونات التجميعية بصورة منفصلة، ولأن الأنماذج شبه المعلمي يعد الحاله الخاصة من الأنماذج التجمعي وبدالة ربط (Identity) وبفرض  $P$  كمصفوفة اسقاطات (Projection Matrix) إذ أن :-

$$P = X(X^T X)^{-1} X^T$$

و  $S$  تمثل مصفوفة الممهادات اللامعممية وبالعودة الى الأنماذج GPLM فان Hastie & Tibshirani اقترحوا استخدام هذا النظام لايجاد تقادير موزون ومتسلسل ، ان الخوارزمية الخاصة بالتقدير للأنماذج GPLM بأسلوب Backfitting هي :-

$$\left. \begin{array}{l} \beta^{new} = (X^T \mathcal{W} \tilde{X})^{-1} X^T \mathcal{W} \tilde{Z} \\ m^{new} = S(Z - X^T \beta) \end{array} \right\} \quad \dots \quad (45)$$

$$\begin{aligned} \tilde{X} &= (I - S)X, \quad v = \ell'_i(\eta) \quad \text{اذ ان :-} \\ \mathcal{W} &= \ell''_i(\eta), \quad \tilde{Z} = \tilde{X}\beta - \mathcal{W}^{-1}v \\ \ell_i(\eta), \ell'_i(\eta), \ell''_i(\eta) &\text{ تمثلن المشتقة الاولى والثانية لدالة الامكان الاعظم (} \\ \text{ولكل خطوة تسلسلية يمكن أن تشكل المعادلة الخطية الآتية :} \end{aligned}$$

(46)

$$X\beta^{new} + m^{new} = R^\beta Z$$

$$(R^\beta = \tilde{X}(X^T \mathcal{W} \tilde{X})^{-1} X^T \mathcal{W} (I - S) + S \quad \text{اذ ان :-})$$

-5 الجانب العملي

النفط هو أهم دعائم الاقتصاد حيث يشكل نسبة كبيرة من الدخل القومي للبلد المنتج له ، أن الصناعات النفطية لاتعتمد على إنتاج النفط فقط ، بل هي وحدة متكاملة تتضمن عدة عمليات متراقبة من استخراجه وتكريره وتسويقه ونقله في الداخل والخارج للمنتجين الخام والمكرر ، وبعد النقل الداخلي للمنتوجات النفطية البيضاء (بنزين ، نفط أبيض ، زيت الغاز (الغاز)) من العمليات الأساسية المؤشرة في تطور القطاع النفطي ، حيث يتم نقل هذه المنتجات من المصافي المنتشرة في أرجاء العراق او من مستودعات الموانئ الى مستودعات شركة خطوط الأنابيب النفطية تمهدًا لنقلها لمخازن التخزين في المحافظات العراقية لغرض توزيعها على محطات التوزيع المختلفة ، وتعتبر شركة خطوط الأنابيب النفطية هي المسئولة الرئيسة عن هذه العملية المعقدة منذ بدايات الانتاج النفطي في العراق وحتى الان، ان هدفنا من التطبيق هو تحديد أفضل انموذج يمثل كمية النقل بواسطة الأنابيب مع بقية المتغيرات الأخرى ، وقد تم الحصول على بيانات نقل المنتجات النفطية بواسطة الأنابيب حيث تضمنت خمسة متغيرات رئيسية وهي  $Y$  التي تمثل كميات المنتوجات النفطية البيضاء (النفط الأبيض ، البنزين ، الغاز) و  $X_1$  تمثل كمية الانتاج النفطي من هذه المنتوجات من المصافي الجنوبية و  $X_2$  يمثل كميات المنتوجات المستوردة و  $X_3$  ستمثل كمية المنتوجات المنقوله برا و  $X_4$  ستمثل فرق العدادات حيث تم اجراء تحليل هذه البيانات بثلاث مراحل متتابعة ففي المرحلة الأولى تم بناء مختلف النماذج المعلميمية وشبه المعلميمية وتحليل مبسط لنتائجها ، وفي المرحلة الثانية تم اجراء المقارنة بين النماذج المعلميمية وشبه المعلميمية لتحديد الانموذج او النماذج الأفضل وبثلاث اساليب ، وفي المرحلة الثالثة تم تحسين درجة تمثيل البيانات لمختلف النماذج شبه المعلميمية واجراء المقارنات بينها لتحديد الانموذج الأفضل فيما بينها .

### **(1-5) بناء النماذج المعلمية وشبكة المعلمية**

باستخدام البرنامج التطبيقي (*i-xplore*) تم بناء النماذج المعلمية وشبكة المعلمية ، حيث يوافر هذا النظام الامكانية لبناء النماذج المعلمية كالاتحدار الخطى العام والموسوع، وكذلك يوافر صفاً واسعاً من النماذج شبكة المعلمية والتي سنكتفي منها بالامونذجين الخطى الجزئي *PLM* والخطى الجزئي الموسوع *GPLM* وحسب الآتي:-

### **(1-1-5) النماذج المعلمية**

عند افتراض ان سلوك المستويات المستقلة يكون خطيا فقد تم بناء اربعة نماذج معلمية (أنموذج  $GLM$  + ثلاثة نماذج  $Z GLM$ ) وكما يأتي :-

$$\begin{aligned}\hat{Y} &= 1147.37 + 0.485 X_1 + 0.460 X_2 + 0.101 X_3 - 2.08 X_4 \\ \hat{Y} &= G \{8.38 + 4.71E^{-5} X_1 + 4.16E^{-5} X_2 + 7.88E^{-6} X_3 - 0.17E^{-3} X_4\} \\ \hat{Y} &= G \{0.17E^{-3} - 4.4E^{-9} X_1 - 3.7E^{-9} X_2 - 5.4E^{-10} X_3 - 1.3E^{-8} X_4\} \\ \hat{Y} &= G \{-0.1E^{-3} + 4.4E^{-9} X_1 + 3.7E^{-9} X_2 + 5.4E^{-10} X_3 - 1.3E^{-8} X_4\}\end{aligned}$$

ودوال الرابط (G) المستخدمة هي :  $(\text{Log}(\mu), \text{Reciprocal}, \text{Log logit})$

### **جدول رقم (3) النماذج المعلمية**

<i>Deviance</i>	<i>Dispersion</i>	<i>R</i> <sup>2</sup>	BIC	AIC	الامثلية
8653531791	7524810	0.4615	21595.94	21570.69	M1
883877	-	0.4265	896720	896695	M2
103.98	0.0904	0.0002	27571	27546	M3
103.96	-	0.0025	23819	23793	M4

حيث يمكن تحديد الامور الآتية :-

- ان النماذج الخطية الموسعة  $GLM_Z$  غير كفؤة تماماً لأن تقديرات معاليمها  $(b_0, b_1, b_2, b_3, b_4)$  تكاد تقترب للصفر في معظمها، في حين ان الانموذج الخطي  $GLM$  كان أكثر كفاءة منها.
- ان التشتت **Dispersion** والانحرافات **Deviance** تكون عالية جداً في الانموذج الخطي  $GLM$  وقليلة في النماذج الموسعة  $GLM_Z$  في حين ان معايير  $AIC, BIC$  كانت في الانموذج الخطي أقل منها في النماذج الموسعة.
- نسبة تفسير معادلة الانحدار للبيانات  $R^2$  بالنسبة للانموذجين الخطي العام والم Osborne (بدالة الربط  $G(\cdot) = \text{Log}(\mu)$ ) هي افضل بكثير جداً من الانموذجين الموسعين الآخرين (انموذج بدالة الربط *Reciprocal Log logit*) ، مع بقاء كفاءة الانموذج الخطي العام  $GLM$  لكون مقدراته أقرب ل الواقع العملي.

ومن ملاحظة الانموذج الخطي العام (رقم 1) فإن الكمية الثابتة لضخ المنتوجات النفطية البيضاء تكون بالمقدار  $(1147.37)^3$  م، وان تأثير المتغير  $X_1$  (الإنتاج النفطي) هو تأثير موجب بمعنى ان الزيادة التي تحصل فيه وبمقدار وحدة واحدة تؤدي الى زيادة الكمييات المنقوله في الانابيب بنسبة 0.485 من هذه الوحدة وكذلك الامر بالنسبة للمتغير  $X_2$  (الكميات المستوردة) اذ ان زيادة وحدة واحدة منها تؤدي الى ارتفاع في الكميات المنقوله بنسبة 0.460 من هذه الوحدة ويمكن ملاحظة التأثير القليل نسبياً للمتغير  $X_3$  (النقل البري) حيث ان زيادة وحدة واحدة من كمية المنتوجات البيضاء المنقوله برا يؤدي الى زيادة طفيفة في المنتوجات المنقوله داخل الانابيب تكون بحدود 0.101 من هذه الوحدة في حين ان تأثير المتغير الرابع  $X_4$  (فرق العدادات) كان كبيراً جداً ولكن بالاتجاه السالب حيث ان زيادة وحدة واحدة من هذا المتغير تؤدي الى تقليل كمية المنتوجات البيضاء المنقوله في الانابيب بمقدار الضعفين وبحدود 2.08 من هذه الوحدة وفي ادناه الاشكال الخاصة بالنماذج المعلميمية الأربع.

#### (2-1-5) بناء النماذج شبه المعلميمية

ان المرونة التي يتمتع بها الانموذج شبه المعلميم توافر الامكانية لتوزيع المتغيرات المستقلة على المكونين المعلميم واللامعلميم للانموذج ، وعلى هذا الاساس تم بناء 28 انموذجاً شبه معلمياً تمثل البيانات وكالاتي :-  
 14 انموذج  $PLM$  وحسب الصيغة (35) و 14 انموذج  $GPLM$  وحسب الصيغة (44) وباختيار دالة الربط اللوغاريتمية فقط لكون دالتى الربط (كاما ومعكوس ثانى الحدين) تتحقق  $adj R^2$  ضئيلة جداً تصل الى 0.0002 فقط مما تذرع اختيارها، وتم تحديد المسافات البينية  $w.b$  بالاعتماد على الصيغة (16) حيث كانت

$$h_1 = 3077.9, h_2 = 2577.6, h_3 = 8684.5, h_4 = 160.32$$

#### (1-2-1-5) النماذج ذات المتغير الواحد في المكون المعلميم

تم اعتبار ان هناك متغيراً واحداً يسلك سلوكاً خطياً او معلمياً (سلوكاً مستقراً) مشكلاً المكون المعلميم وثلاثة متغيرات تسلك السلوك اللاخطي او اللامعلميم (سلوكاً غير مستقر) لتكون بدورها المكون اللامعلميم من الانموذج  $PLM$  وحسب الصيغة (35) او الانموذج  $GPLM$  وحسب الصيغة (44) وعلى هذا الاساس تم بناء النماذج الآتية:-

1. اربعة نماذج  $PLM$  تتكون من متغير واحد في المكون المعلميم وثلاثة متغيرات في المكون اللامعلميم والصيغة الرياضية التالية

- المكون المعلميم يمثل  $(X_1)$  واللامعلميم يمثل  $(X_2, X_3, X_4)$  سيكون  $\hat{Y} = 0.352X_1 + m(X_2, X_3, X_4)$
- المكون المعلميم يمثل  $(X_2)$  واللامعلميم يمثل  $(X_1, X_3, X_4)$  سيكون  $\hat{Y} = 0.346X_2 + m(X_1, X_3, X_4)$
- المكون المعلميم يمثل  $(X_3)$  واللامعلميم يمثل  $(X_1, X_2, X_4)$  سيكون  $\hat{Y} = 0.108X_3 + m(X_1, X_2, X_4)$
- المكون المعلميم يمثل  $(X_4)$  واللامعلميم يمثل  $(X_1, X_2, X_3)$  سيكون  $\hat{Y} = -2.666X_4 + m(X_1, X_2, X_3)$

2. اربعة نماذج  $GPLM$  تتكون من متغير واحد في المكون المعلميم وثلاثة متغيرات في المكون اللامعلميم ، مع اختيار دالة بواسون فقط لكون بقية الدوال (كاما ، معكوس ثانى الحدين) لا تحقق الا 0.0002 قيمة تفسيرية للبيانات ( $R^2$ ) وحسب الصيغة الرياضية التالية:-

- المكون المعلميم يمثل  $(X_1)$  واللامعلميم يمثل  $(X_2, X_3, X_4)$  سيكون  $\hat{Y} = G\{3.31E^{-5}X_1 + m(X_2, X_3, X_4)\}$

- المكون المعلمي يمثل  $(X_2)$  واللامعلمي يمثل  $(X_1, X_3, X_4)$  سيكون  $\hat{Y} = G\{2.96E^{-5}X_2 + m(X_1, X_3, X_4)\}$
  - المكون المعلمي يمثل  $(X_3)$  واللامعلمي يمثل  $(X_1, X_2, X_4)$  سيكون  $\hat{Y} = G\{8.41E^{-6}X_3 + m(X_1, X_2, X_4)\}$
  - المكون المعلمي يمثل  $(X_4)$  واللامعلمي يمثل  $(X_1, X_2, X_3)$  سيكون  $\hat{Y} = G\{-0.0002X_4 + m(X_1, X_2, X_3)\}$
- ومن ملاحظة النماذج اعلاه يمكن تحديد الملاحظات الآتية :-
- ان نماذج **GPLM** تكون غير كفؤة لكون اوزان المكون المعلمي تقترب للصفر.
  - ان اوزان المتغير المعلمي في النماذج الاربعة الاولى (**PLM**) تكون قريبة من اوزان نفس المتغيرات في الانموذج المعلمي الخطى ومن الواضح ان اوزان المتغيرين (الإنتاج النفطي ، المستورد) في الانموذج **PLM** هي اقل من مناظرتها في الانموذج (**GLM**) في حين ان وزن المتغيرين الاخرين قد ارتفع عن مثيلاتها في الانموذج المعلمي .
  - ان درجة تمثيل البيانات وحسب معامل التحديد  $R^2$  والتحديد المعدل  $adjR^2$  ، في النماذج **PLM** ، تكون اعلى من نماذج **GPLM** ، وكل انموذج مقابل وكذلك اعلى من مقاييس الانموذجين **GLM** وكما في الجدول الآتي :

الجدول رقم (4) مقارنة بين مقاييس تمثيل البيانات			
<b>GLM, GLM<sub>z</sub></b> $R^2, adjR^2$	<b>GPLM</b> $R^2, adjR^2$	<b>PLM</b> $R^2, adjR^2$	<b>t</b>
<b>GLM</b> $R^2 = 0.4615$ $adjR^2 = 0.4597$	$R^2 = 0.5461$ $adjR^2 = 0.5198$	$R^2 = 0.5658$ $adjR^2 = 0.5408$	1
	$R^2 = 0.5354$ $adjR^2 = 0.5081$	$R^2 = 0.5591$ $adjR^2 = 0.5331$	2
	$R^2 = 0.5018$ $adjR^2 = 0.4654$	$R^2 = 0.5275$ $adjR^2 = 0.4929$	3
	$R^2 = 0.5346$ $adjR^2 = 0.5131$	$R^2 = 0.5604$ $adjR^2 = 0.5400$	4

- ان مقاييس **AIC, BIC** تكون اقل بكثير جدا من مثيلاتها في الانموذج **PLM**
- ان التشتت **Dispersion** والانحرافات **Deviance** تكون عالية جدا في الانموذج **PLM** وقليلة في النماذج **GPLM**

### 2-2-1-5) النماذج ذات المتغيرين في المكون المعلمى **PLM, GPLM**

حيث تم اعتبار ان هناك متغيرين يسلكان سلوكا خطيا او معلميا (سلوكا مستقر) مشكلتنا المكون المعلمى والمتغيرين الاخرين يسلكان سلوكا لاخطيا او لامعلميا (سلوكا غير مستقر) لتكون بدورها المكون اللامعلمى من الانموذج **PLM** ، وحسب الصيغة (35) او الانموذج **GPLM** وحسب الصيغة (44) وعلى هذا الاساس تم بناء عدد 6 نماذج لكل نوع وحسب الآتي :-

1. ستة نماذج **PLM** تتكون من متغيرين في المكون المعلمى ومتغيرين في المكون اللامعلمى وحسب الصيغ الرياضية الآتية:-

- المكون المعلمى يمثل المتغيرين  $(X_1, X_2)$  والمكون اللامعلمى يمثل المتغيرين  $X_3, X_4$  وبالصيغة الرياضية  $\hat{Y} = 0.37X_1 + 0.33X_2 + m(X_3, X_4)$
- المكون المعلمى يمثل المتغيرين  $(X_1, X_3)$  والمكون اللامعلمى يمثل المتغيرين  $X_2, X_4$  وبالصيغة الرياضية  $\hat{Y} = 0.44X_1 + 0.11X_3 + m(X_2, X_4)$
- المكون المعلمى يمثل المتغيرين  $(X_1, X_4)$  والمكون اللامعلمى يمثل المتغيرين  $X_2, X_3$  وبالصيغة الرياضية  $\hat{Y} = 0.36X_1 - 2.56X_4 + m(X_2, X_3)$
- المكون المعلمى يمثل المتغيرين  $(X_2, X_3)$  والمكون اللامعلمى يمثل المتغيرين  $X_1, X_4$  وبالصيغة الرياضية  $\hat{Y} = 0.45X_2 + 0.101X_3 + m(X_1, X_4)$
- المكون المعلمى يمثل المتغيرين  $(X_2, X_4)$  والمكون اللامعلمى يمثل المتغيرين  $X_1, X_3$  وبالصيغة الرياضية  $\hat{Y} = 0.353X_2 - 2.46X_4 + m(X_1, X_3)$
- المكون المعلمى يمثل المتغيرين  $(X_3, X_4)$  والمكون اللامعلمى يمثل المتغيرين  $X_1, X_2$  وبالصيغة الرياضية  $\hat{Y} = 0.106X_3 - 2.17X_4 + m(X_1, X_2)$

2. ستة نماذج **GPLM** تتكون من متغيرين في المكون المعلمي ومتغيرين في الصيغة الرياضية الآتية:-

- المكون المعلمي يمثل المتغيرين ( $X_1, X_2$ ) والمكون اللامعملي يمثل المتغيرين  $X_3, X_4$  وبالصيغة الرياضية الآتية:-

$$\hat{Y} = G\{3.46E^{-5}X_1 + 2.83E^{-5}X_2 + m(X_3, X_4)\}$$

- المكون المعلمي يمثل المتغيرين ( $X_1, X_3$ ) والمكون اللامعملي يمثل المتغيرين  $X_2, X_4$  وبالصيغة الرياضية الآتية:-

$$\hat{Y} = G\{4.26E^{-5}X_1 + 8.49E^{-6}X_3 + m(X_2, X_4)\}$$

- المكون المعلمي يمثل المتغيرين ( $X_1, X_4$ ) والمكون اللامعملي يمثل المتغيرين  $X_2, X_3$  وبالصيغة الرياضية الآتية:-

$$\hat{Y} = G\{3.36E^{-5}X_1 - 0.2E^{-3}X_4 + m(X_2, X_3)\}$$

- المكون المعلمي يمثل المتغيرين ( $X_2, X_3$ ) والمكون اللامعملي يمثل المتغيرين  $X_1, X_4$  وبالصيغة الرياضية الآتية:-

$$\hat{Y} = G\{4.07E^{-5}X_2 + 7.83E^{-6}X_3 + m(X_1, X_4)\}$$

- المكون المعلمي يمثل المتغيرين ( $X_2, X_4$ ) والمكون اللامعملي يمثل المتغيرين  $X_1, X_3$  وبالصيغة الرياضية الآتية:-

$$\hat{Y} = G\{3.03E^{-5}X_2 - 0.2E^{-3}X_4 + m(X_1, X_3)\}$$

- المكون المعلمي يمثل المتغيرين ( $X_3, X_4$ ) والمكون اللامعملي يمثل المتغيرين  $X_1, X_2$  وبالصيغة الرياضية الآتية:-

$$\hat{Y} = G\{8.24E^{-6}X_3 - 0.17E^{-3}X_4 + m(X_1, X_2)\}$$

ومن النماذج اعلاه يمكن تحديد الملاحظات التالية:-

- ان النماذج **GPLM** غير كفؤة لكون اوزان (معالم) المكون المعلمي قريبة للصفر في حين ان النماذج **PLM** تكون اكثراً واقعية منها.
- ان معايير **AIC, BIC** تكون كبيرة جداً في النماذج **GPLM** مقارنة بمثيلاتها في النماذج **PLM**.
- ان التشتت **Dispersion** والانحرافات **Deviance** تكون عالية جداً في نماذج **PLM** وقليلة في النماذج **GPLM**.
- وبملاحظة اوزان النماذج **PLM** مع اوزان الانموذج **GLM** وكل انموذج على حدة وحسب الجدول (3-3).

حيث يمكن ملاحظة ان وزن المتغير  $X_1$  (الإنتاج النفطي) كان اقل من وزنه في الانموذج **GLM** مع ملاحظة ارتفاع قيمته في الانموذج الثاني ، وكذلك الامر بالنسبة لوزن المتغير  $X_2$  (المستورد) حيث ان وزنه ينخفض لكل النماذج التي يشترك في مكونها المعلمي وارتفاع وزنه في الانموذج الرابع مع ملاحظة ان كلاً المتغيرين يرتفع وزنهما في الانموذج عندما يتشاركان في المكون المعلمي مع المتغير  $X_3$  (النقل البري) والذي وزنه يتقارب بصورة كبيرة مع نظيره في الانموذج المعلمي ارتفاعاً او انخفاضاً وكافة النماذج ، اما المتغير الرابع  $X_4$  فان وزنه يكون ولكافة النماذج اعلى من وزنه في الانموذج **GLM** مما يوضح ان تأثير هذا المتغير يكون بصورة اكبر في النماذج شبه المعلمية .

- ان درجة تمثيل البيانات  $R^2, adjR^2$  في النماذج **PLM** ، **GPLM** وكما في الجدول الاتي:-

الجدول (5) مقارنة بين مقاييس تمثيل البيانات لنماذج المجموعة الثانية			
للنموذج <b>GLM, GLM<sub>z</sub></b>	للنموذج <b>GPLM</b>	للنموذج <b>PLM</b>	
$R^2 = 0.4615$ <b>GLM</b> $adjR^2 = 0.4597$	$R^2 = 0.5085$ $adjR^2 = 0.4969$	$R^2 = 0.5332$ $adjR^2 = 0.5223$	
$GLM_z$ $R^2 = 0.4265$ $adjR^2 = 0.4245$	$R^2 = 0.4641$ $adjR^2 = 0.4501$	$R^2 = 0.4952$ $adjR^2 = 0.4821$	
	$R^2 = 0.5058$ $adjR^2 = 0.4977$	$R^2 = 0.5299$ $adjR^2 = 0.5222$	
	$R^2 = 0.4537$ $adjR^2 = 0.4406$	$R^2 = 0.4831$ $adjR^2 = 0.4707$	
	$R^2 = 0.4994$ $adjR^2 = 0.4899$	$R^2 = 0.5288$ $adjR^2 = 0.5199$	
	$R^2 = 0.4575$ $adjR^2 = 0.4476$	$R^2 = 0.4878$ $adjR^2 = 0.4784$	

حيث يمكن وبصورة واضحة ملاحظة ان مقاييس تمثيل البيانات لنماذج  $PLM$  تكون بمجملها اعلى من مثيلاتها في النماذج  $GLM$  ،  $GLM_z$  ،  $GLM$  ، في حين ان نماذج  $GPLM$  تتفوق مقاييس تمثيل البيانات فيها على مثيلاتها في الانموذج  $GLM_z$  ولا تتفوق كلها على مقاييس الانموذج  $GLM$  الا في النماذج رقم (5,3,1) ، اما في الانموذج (2) فان مقياس  $R^2$  يكون اعلى بصورة طفيفة جدا ومقاييس  $adjR^2$  يكون ادنى بصورة طفيفة ايضا ، اما في الانموذج رقم (6) فان مقاييسه ادنى من مقاييس الانموذج  $GLM$  ، والذي بمجمله يوضح تفوق النماذج شبه المعلمية على النماذج المعلمية في هذه المقاييس.

### (3-2-1-5) النماذج $PLM, GPLM$ ذات الثلاثة متغيرات في المكون المعلمي

حيث تم اعتبار ان هناك ثلاثة متغيرات تسلك سلوكا خطيا او معلمنيا (سلوكا مستقر) مشكلتا المكون المعلمي ومتغير واحد يسلك سلوكا لاختيا او لامعمنيا (سلوكا غير مستقر) ليكون بدوره المكون اللامعلمي من الانموذج  $PLM$  وحسب الصيغة (35) او الانموذج  $GPLM$  وحسب الصيغة (44) وعلى هذا الاساس تم بناء عدد 4 نماذج لكل نوع وحسب الآتي :

1. اربعة نماذج  $PLM$  تتكون من ثلاثة متغيرات المكون المعلمي ومتغير واحد في المكون اللامعلمي وحسب الصيغ الرياضية التالية:-

- المكون المعلمي يمثل ( $X_4$ ) واللامعلمي يمثل ( $X_1, X_2, X_3$ ) وصيغته الرياضية الآتية :-

$$\hat{Y} = 0.47X_1 + 0.446X_2 + 0.101X_3 + m(X_4)$$

- المكون المعلمي يمثل ( $X_1, X_2, X_4$ ) والمكون اللامعلمي يمثل ( $X_3$ ) وصيغته الرياضية الآتية :-

$$\hat{Y} = 0.372X_1 + 0.344X_2 - 2.4X_4 + m(X_3)$$

- المكون المعلمي يمثل ( $X_1, X_3, X_4$ ) والمكون اللامعلمي يمثل ( $X_2$ ) وصيغته الرياضية الآتية :-

$$\hat{Y} = 0.455X_1 + 0.106X_3 - 2.15X_4 + m(X_2)$$

- المكون المعلمي يمثل ( $X_2, X_3, X_4$ ) والمكون اللامعلمي يمثل ( $X_1$ ) وصيغته الرياضية الآتية :-

$$\hat{Y} = 0.458X_2 + 0.099X_3 - 2.16X_4 + m(X_1)$$

2. اربعة نماذج  $GPLM$  تتكون من ثلاثة متغيرات المكون المعلمي ومتغير واحد في المكون اللامعلمي وحسب الصيغ الرياضية الآتية :-

- المكون المعلمي يمثل ( $X_4$ ) والمكون اللامعلمي يمثل ( $X_1, X_2, X_3$ ) وصيغته الرياضية الآتية :-

$$\hat{Y} = G\{4.58E^{-5}X_1 + 4.05E^{-5}X_2 + 7.9E^{-6}X_3 + m(X_4)\}$$

- المكون المعلمي يمثل ( $X_1, X_2, X_4$ ) والمكون اللامعلمي يمثل ( $X_3$ ) وصيغته الرياضية الآتية :-

$$\hat{Y} = G\{3.49E^{-5}X_1 + 2.95E^{-5}X_2 - 0.19E^{-3}X_4 + m(X_3)\}$$

- المكون المعلمي يمثل ( $X_1, X_3, X_4$ ) والمكون اللامعلمي يمثل ( $X_2$ ) وصيغته الرياضية الآتية :-

$$\hat{Y} = G\{4.36E^{-5}X_1 + 8.37E^{-6}X_3 - 0.16E^{-3}X_4 + m(X_2)\}$$

- المكون المعلمي يمثل ( $X_2, X_3, X_4$ ) والمكون اللامعلمي يمثل ( $X_1$ ) وصيغته الرياضية الآتية :-

$$\hat{Y} = G\{4.14E^{-5}X_2 + 7.64E^{-6}X_3 - 0.18E^{-3}X_4 + m(X_1)\}$$

ومن النماذج اعلاه يمكن تحديد الملاحظات الآتية :-

• ان النماذج  $GPLM$  غير كافية لكون اوزان (معالم) المكون المعلمي قريبة للصفر في حين ان النماذج  $PLM$  تكون اكثر واقعية منها.

- ان معايير  $AIC, BIC$  تكون كبيرة جدا في النماذج  $GPLM$  مقارنة بمثيلاتها في النماذج  $PLM$ .

• ان التشتت  $Dispersion$  والانحرافات  $Deviance$  تكون عالية جدا في نماذج  $PLM$  وقليلة في النماذج  $GPLM$

الجدول رقم (6) مقارنة بين مقاييس تمثيل البيانات لنماذج المجموعة الثالثة			
للنموذج $GLM, GLM_z$	$R^2, adjR^2$ $GLM, GLM_z$	$R^2, adjR^2$ للنموذج $GPLM$	$R^2, adjR^2$ $PLM$
$GLM \quad R^2 = 0.4615$ $adjR^2 = 0.4597$		$R^2 = 0.4351$ $adjR^2 = 0.4299$	$R^2 = 0.4706$ $adjR^2 = 0.4658$
$GLM_z \quad R^2 = 0.4265$ $adjR^2 = 0.4245$		$R^2 = 0.4847$ $adjR^2 = 0.4807$	$R^2 = 0.5135$ $adjR^2 = 0.5098$
		$R^2 = 0.4418$ $adjR^2 = 0.4387$	$R^2 = 0.4754$ $adjR^2 = 0.4725$
		$R^2 = 0.4335$ $adjR^2 = 0.4302$	$R^2 = 0.4635$ $adjR^2 = 0.4604$

• بملحوظة اوزان النماذج  $PLM$  مع اوزان النموذج  $GLM$  وكل انموذج على حدة يمكن بوضوح ملاحظة ان اوزان المتغير  $X_1$  (الانتاج النفطي) قد انخفضت بصورة طفيفة في الانموذج الاول وبصورة أكبر في الانموذج الثاني ، وبصورة قليلة في الانموذج الثالث عن وزنه في الانموذج  $GLM$  ، اما المتغير  $X_2$  (المستورد) فانه قد انخفض بصورة طفيفة في الانموذج الاول وبصورة اكبر في الانموذج الثاني ويکاد يكون متطابقا في الانموذج الثالث مع وزنه في الانموذج المعلمی ، اما المتغير الثالث  $X_3$ (النقل البري) فان اوزانه للنماذج الثلاث قد بقيت قريبة جدا ارتفاعا او انخفاضا من وزنه في الانموذج  $GLM$  ، اما المتغير الرابع  $X_4$  (فرق العادات) فقد بقي وزنه في كافة النماذج  $PLM$  اعلى من وزنه في الانموذج المعلمی.

• ان درجة تمثيل البيانات  $R^2$  ،  $adjR^2$  في النماذج  $PLM$  ،  $GPLM$  وكما في الجدول الآتي :-  
وهو يوضح بقاء مقاييس تمثيل البيانات عند الانموذج  $PLM$  ولكافة النماذج اكبر من الانموذج المعلمی بشقيه الخطی والموضع ، اما الانموذج  $GPLM$  فانه يتتفوق فقط على الانموذج الموضع  $GLM_z$  في كافة المقاييس اما من جهة الانموذج الخطی  $GLM$  فانه يتتفوق عليه عند الانموذج الثاني فقط .

## 2-5) اختيار الانموذج الأفضل

أن الغاية الرئيسية من اجراء المقارنة بين النماذج المعلمیة وشبه المعلمیة هي لتحديد الانموذج او النماذج الأفضل التي تعبر عن بيانات نقل المنتجات النفطية داخل العراق ، فبعد اجراء المقارنات بين كافة النماذج على اساس المعايير  $AIC$  ،  $BIC$  ،  $R^2$  فان الانموذج حيث ستكون المقارنات بعدة اساليب لأول سیكون بمراحلتين حيث سيتم اجراء المقارنات بين النماذج المعلمیة فيما بينها لاختيار الانموذج المعلمی الأفضل ونفس الامر سيتم بالنسبة للنماذج شبه المعلمیة فيما بينها كمرحلة اولى وفي المرحلة الثانية سيتم اجراء المقارنة بين الانمودجين الأفضل بينهما والذي سیكون  $\hat{Y} = -2.666X_4 + m(X_1, X_2, X_3)$  والثاني هو الاسلوب الذي يعتمد على اختيار عدة نماذج شبه معلمیة تحقق شرطا اساسيا وهو انها تملك اقل  $AIC$  ،  $BIC$  من الانموذج المعلمی واختيار الأفضل منها والذي سیكون  $(X_2, X_3) = \hat{Y} = 0.36X_1 - 2.56X_4 + m(X_1, X_2, X_3)$  هو الاسلوب الذي سیعتمد على طريقة بناء النماذج حيث سيتم اختيار افضل انموذج من مجموعة النماذج التي تكونها المعلمی يتكون من متغير واحد ، ثم افضل انموذج من المجموعة الثانية ثم الثالثة وبالتالي سيتم الحصول على افضل ثلاثة نماذج والتي سيتم مقارنتها مع الانموذج المعلمی لاختيار الانموذج الأفضل والذي سیكون :-

$$\hat{Y} = -2.666X_4 + m(X_1, X_2, X_3)$$

## 3-5) تحسين درجة تمثيل البيانات للنماذج شبه المعلمیة

تمت الاشارة المستمرة في ثابا الموضوع الى المرونة التي يتمتع بها الانموذج شبه المعلمی من ناحية الامکانية في تحسين درجة تمثيله للبيانات ، وفي الحقيقة ان عملية تغيير هذه المقاييس تنتج نماذج جديدة ولكن بنفس المكونات المعلمیة واللامعلمیة اي ان خليط المتغيرات على اساس المكونين يبقى ثابتا وتتغير معالم الجزء المعلمی وممهدات الجزء اللامعلمی ، وان مفتاح هذا التغيير والعامل الاساس فيه هو تغيير قيمة المسافات البيانية او عرض الحزمة  $b.w$  حتى الوصول الى قيمة نهائية لا يمكن عندها زيادة درجة تمثيل البيانات ، وهذه النقطة ستتمثل بالوصول الى اقصى درجة ممكنة من  $adj R^2$  وعندها سنتمكن من اجراء مقارنة جديدة بين النماذج المحسنة لمعرفة افضل انموذج للبيانات والتعرف على مقاييسه الجديدة ، وفي الجدول التالي نماذج الانحدار الخطی الجزئی التي تم تحسين درجة تمثيلها للبيانات.

جدول رقم (7)

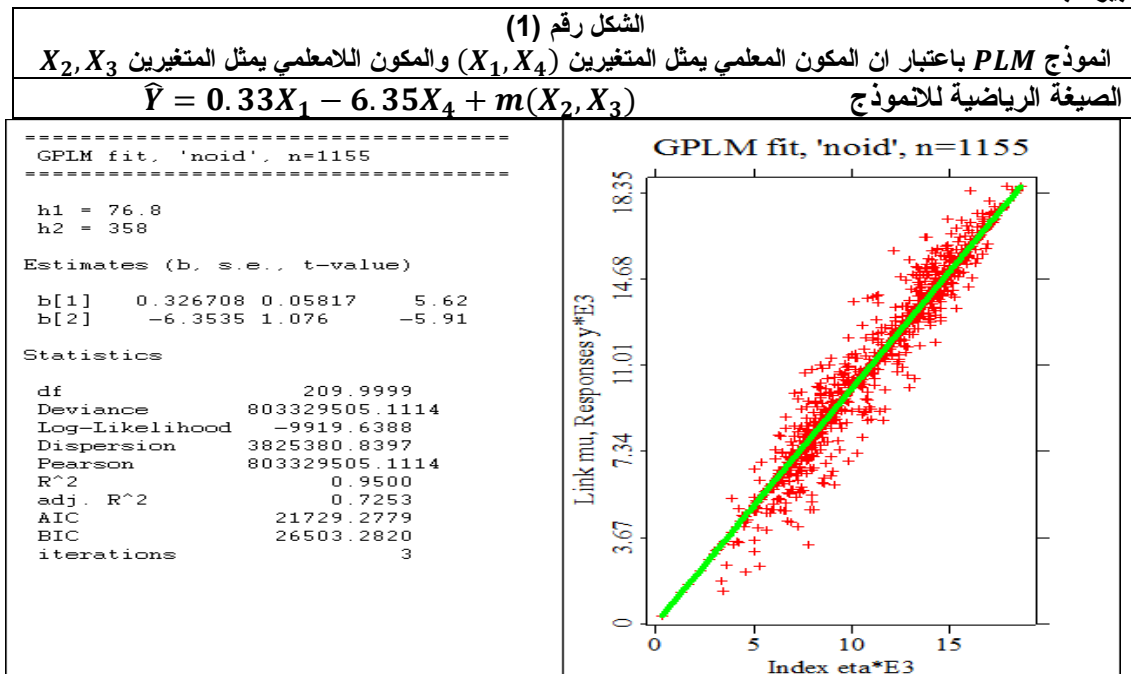
نماذج  $PLM$  التي تم تحسين درجة تمثيلها للبيانات

مسلسل النماذج	$R^2$	$adjR^2$	$AIC$	$BIC$	المسافات البيانية الجديدة
<i>M1</i>	0.9229	0.6847	21816.52	26226.22	$h_2 = 19, h_3 = 6890, h_4 = 233$
<i>M2</i>	0.8344	0.5844	21957.78	25470.11	$h_1 = 1500, h_3 = 190, h_4 = 300$
<i>M3</i>	0.8833	0.6121	21990.66	26071.91	$h_1 = 296, h_2 = 478, h_4 = 146$
<i>M4</i>	0.9213	0.6908	21782.21	26132.64	$h_1 = 4000, h_2 = 80, h_3 = 1370$
<i>M5</i>	0.8598	0.5910	22003.43	25839.62	$h_3 = 655, h_4 = 9$
<i>M6</i>	0.9447	0.6539	22022	26925.77	$h_2 = 9.6, h_4 = 90$
<i>M7</i>	0.9500	0.7253	21729.28	26503.28	$h_2 = 76.8, h_3 = 358$
<i>M8</i>	0.8373	0.5113	22220.61	26115.07	$h_1 = 700, h_4 = 5$
<i>M9</i>	0.9191	0.6087	22109.23	26738.75	$h_1 = 200, h_3 = 300$
<i>M10</i>	8500	0.5647	22073.36	25899.23	$h_1 = 145, h_2 = 300$
<i>M11</i>	0.6652	0.5023	21849.60	23763.14	$h_4 = 1.32$
<i>M12</i>	0.9034	0.5836	22152.07	26634.07	$h_3 = 7.1$
<i>M13</i>	0.9517	0.6605	22019.86	27025.44	$h_2 = 1.3$
<i>M14</i>	0.9032	0.5498	22261.77	26843.51	$h_1 = 3.61$

- عند النظر للجدول (13-3) يمكن ملاحظة ما يأتي :-
- ان مقاييس  $R^2$  ،  $adj R^2$  قد ارتفعت في كافة النماذج شبه المعلمية عن مثيلاتها في النماذج نفسها التي تحوي نفس المكونين المعلمي واللامعلمي
  - ان مقاييس  $AIC$ ,  $BIC$  قد ارتفعت بصورة واضحة لكافة النماذج عن مثيلاتها في النماذج نفسها التي تحوي المكونين المعلمي واللامعلمي نفسها وهذا الارتفاع يعد من الجراءات التي يجب تحملها نتيجة تغيير عرض الحزمة في حين ان كل من مقاييس التشتت *Dispersion* والانحرافات *Deviance* قد انخفضت وبصورة ملحوظة.
  - عند اجراء المقارنة بين النماذج الجديدة للانحدار الخطى الجنئي يظهر لنا ان الانموذج M7 (الشكل 1) يمثل افضل انموذج معبر عن البيانات والذي سيكون بالصيغة:

$$\hat{Y} = 0.326X_1 - 6.353X_4 + m(X_2, X_3)$$

حيث تم سابقا شرح مكوناته المعلمية واللامعلمية مع ملاحظة ان وزن الانتاج النفطي بقي تقربيا على نفس المستوى وبانخفاض طفيف(من 0.359 الى 0.326) في حين ان وزن فرق العدادات قد ارتفع بصورة كبيرة مع التأثير السالب (من 2.564 - الى 6.353 - ) مما يعني ازيداد اهميته في الانموذج بصورة كبيرة جدا .



## 6- الاستنتاجات

يمكن تحديد الاستنتاجات المستخلصة من البحث بالنقطات الآتية :-

1. ان المرونة التي يوفرها الانموذج شبه المعلمي في توصيف البيانات بصورة عامة تكون كبيرة جدا مقارنة بالانموذج الخطى ، ويزداد الامروضوحا عندما تكون المشكلة او الظاهرة المدروسة تحوي على متغيرات كثيرة .
2. ان انموذج الانحدار الخطى الجنئي الموسع *GPLM* وبكافأة تراكيبيه من المتغيرات التي تسلك سلوكا خطيا مستقرا (المكون المعلمى) والتي لا تسلك السلوك الخطى (المكون اللامعلمى) على بيانات شركة خطوط الانابيب النفطية تكون غير كفؤة لكون اوزان المكون المعلمى وكافة النماذج الرياضية تقترب للصفر ، ولعدة دوال ربط مختلفة من جهة ومن جهة اخرى ان درجة تمثيل البيانات بمعامل التحديد  $R^2$  ، او معامل التحديد المصحح  $adj R^2$  تكون قليلة جدا بالنسبة لدوال الربط الاخرى، وعلى السياق نفسه فإن الانموذج الخطى الموسع *GLM<sub>z</sub>* ولمختلف دوال الربط يكون انموذجا غير كفؤه ايضا وللأسباب نفسها .
3. ان انموذج الانحدار الخطى الجنئي *PLM* وبكافأة تراكيبيه من المتغيرات التي تسلك سلوكا خطيا مستقرا (المكون المعلمى) ، والتي لا تسلك السلوك الخطى (المكون اللامعلمى) على بيانات شركة خطوط الانابيب النفطية كانت نماذج كفؤة بصورة مقبولة حسب المقاييس والاختبارات الاحصائية وعلى السياق نفسه فإن الانموذج الخطى العام *GLM* كان انموذجا مقبولا ايضا.

4. عند اتباع اي اسلوب من اساليب المقارنة بين نماذج  $PLM$  فان النموذج الافضل او النماذج الافضل فيها تتفوق كلها على النموذج المعلمي  $GLM$  بمعاييرين على الاقل من معايير المقارنة الثلاث ( $AIC, BIC, R^2$ ) مما يؤكد افضلية النموذج شبه المعلمي .

5. تم اثبات القدرة التي يتمتع بها النموذج شبه المعلمي  $PLM$  في تغيير درجة تمثيله للبيانات ( $adj R^2, R^2$ ) وبصورة كبيرة جدا مع تقليل واضح وكبير لمقياس الانحرافات والتشتت وارتفاع بسيط في المعيارين ( $AIC, BIC$ )

6. كانت الخلاصة النهائية للنموذج الافضل السابع بالنسبة للنموذج شبه المعلمية بعد التحسين فان النموذج قد اصبح بالصيغة الرياضية:-

$$\hat{Y} = 0.33X_1 - 6.35X_4 + m(X_2, X_3)$$

وبحسب (الشكل 1) وبتغير عرض الحزمة  $bw$  لتصبح ( $h_2 = 76.8, h_3 = 358$ ) ( $h_2 = 2577.6, h_3 = 8684.5$ ) وكلما الصيغتين توضح عدم الاستقرارية للمتغيرين (المستورد، النقل البري)، مما يمكن تفسيره بعدم وجود سياسة مستقرة وواضحة لعملية استيراد المنتوجات البيضاء او لعملية نقلها برا لنقل التوزيع او التخزين ، اما بالنسبة للمتغيرين الآخرين (الإنتاج النفطي ، فرق العدادات) فان الاستقرارية بالنسبة للمتغير الاول (الإنتاج النفطي) قد تكون مؤشرا ايجابيا من جهة ومن جهة اخرى مؤشرا سلبيا فالمؤشر الايجابي يوضح استقرارية المنتوج من قبل المصافي الجنوبيه بوتيرة منتظمه او مقبولة في ظل الظروف الاستثنائية التي يمر به وطننا العراق ، اما المؤشر السلبي فهو يوضح وعلى اقل تقدير في السنوات الثلاث الماضية لم تجر محاولة جادة لتطوير كفاءة هذه المصافي ودراسة اسباب القصور فيها ، اما متغير فرق العدادات فمن الواضح ان النموذج شبه المعلمي والمعدل قد كشف عن مقدار خطورة هذا المتغير على العملية بمجملها ويمكن تحديد عدة تفسيرات لخطورة هذا المتغير منها ما هو قصور في الاداء الوظيفي عند عدادي دفع المنتوج واستقباله او الاعطال الفنية في هذه العدادات او خلل في طبيعة المنتوج المدفوع في الانابيب من حيث لزوجته او وجود الغازات والاخيرة فيه مما يؤدي الى قراءات خاطئة او السرقات المنظمه من الانابيب وبكميات منتظمه وقليلة نسبيا قياسا بضخامة المنتوج .

### المصادر

1. خمو ، خلود يوسف (2004) ، "مقارنة اساليب بيز مع طرائق اخرى لتقدير منحنى الانحدار الامعلمي" ، اطروحة دكتوراه في الاحصاء ، كلية الادارة والاقتصاد/ جامعة بغداد
2. كاظم ، اموري هادي والدليمي ، محمد مناجد عيفان ، (1988)،"مقدمة في تحليل الانحدار الخطى" ،كلية الادارة والاقتصاد / جامعة بغداد.
3. Draper, N. R. , & smith, H. , (1981), "Applied Regression Analysis" John Willey and sons, 2nd. Ed. , New York.
4. Hardle, W " Applied Nonparametric Regression"(1990). Cambridge University Press. Cambridge
5. Hardle, W & Liang , H & Gao , J "Partilly Linear Models"(2000) Heidelberg: Physica-Verlag
6. Hardle , W , Müller. M , Sperlich, S & Werwatz, A "Nonparametric and Semi parametric Models an Introduction " (2004) , Springer Edition
7. Hastie, Trevor & Tibshirani , Robert"Generalized Aditive Model"(1990), Chapman and Hall, London.
8. Hansen , Bruce E,"Econometrics"(2012) University of Wisconsin
9. Lindsey, James K,"Applying Generalized Linear Model" (1997), Springer.
10. Muller , Marlene , "Semiparametric Extension GLM<sub>Z</sub>" (2000),der Humboldt – Universitat zu Berlin.
11. McCullagh, P., and Nelder, J. A" Generalized Linear Models", (1989). 2nd ed. London: Chapman& Hall.
12. Ruppert, D., Wand, M. and Carroll, R. (2003). "Semiparametric Regression". Cambridge University Press. Cambridge.
13. Scott, D. W , " Multivariate Density Estimation", (1992), John Wiley & Sons, New York
14. Yatchew, Adonis"SPR for The Applied Econometric"(2003), Cambridge University Press.
15. Demir . S , Toktamis.O," ON THE ADAPTIVE NADARAYA-WATSON KERNEL REGRESSION ESTIMATORS" ,Journal of Mathematics and Statistics Volume 39 (3) (2010), 429 – 437

16. ENGLE, R. F., GRANGER, C. W. J., RICE, J. and WEISS, A. (1986). "Semiparametric estimates of the relation between weather and electricity" sales. *Journal of the American Statistical Association*, 81:394, 310-320
  17. Flashier,Emmanuel., "Non-Parametric Econometrics" [www.vcharite.univ-mrs.fr/.../nonparametric-chap3.pdf](http://www.vcharite.univ-mrs.fr/.../nonparametric-chap3.pdf).
  18. Muller.M," Estimation and testing in generalized partial linear models—A comparative study", ( 2001), *Statistics and Computing* 11: 299–309
  19. NELDER .J.A, WEDDERBURN.W.M," Generalized Linear Models", *Journal of the Royal Statistical Society. Series A (General)*, Vol. 135, No. 3 (1972), pp.370-384.
  20. Robinson. P. M , "Root-N-Consistent Semiparametric Regression", *Econometrica*, Vol. 56, No. 4 (Jul., 1988), pp. 931-954.
  21. Speckman P , "Kernel Smoothing in Partial Linear Models " *Journal of the Royal Statistical Society. Series B* (1988), Vol.50, No.3, pp.413-436.
  22. Van Kerm, Philippe "Adaptive kernel density estimation", *The Stata Journal* (2003) 3, Number 2, pp. 148–156.
- .....  
.....  
.....